

# 우리별 1호 지구 관측 영상의 방사학적 및 기하학적 보정

이임평, 김태정

한국과학기술원 인공위성연구센터

## Radiometric and Geometric Correction of the KITSAT-1 CCD Earth Images

Impyeong Lee, Taejung Kim

Satellite Technology Research Center (SaTReC)  
Korea Advanced Institute of Science and Technology(KAIST)

iplee@satrec.kaist.ac.kr, tjkim@satrec.kaist.ac.kr

## Abstract

The CCD Earth Image Experiment(CEIE) is one of the main payload of the KITSAT-1. Since it was launched on Oct. 10, 1992, the CEIE has taken more than 500 images on the Earth surface world-wide so far. An image from the space is very different from a feature on the real Earth surface due to various radiometric and geometric distortions. Preprocessing to remove those distortions has to take place before the image data are processed and analyzed further for various applications. This paper describes the procedure to perform preprocessing including radiometric and geometric correction.

**Keywords :** KITSAT-1, CCD, Preprocessing, Geometric, Radiometric, Correction

## 요 약

CCD 지구 영상 실험 장치(CCD Earth Image Experiment, CEIE)는 우리별 1호의 주 탑재체 중의 하나이다. 우리별 1호가 발사된 후에 CEIE는 이제까지 약 500여장의 세계 곳곳의 지표면 영상을 촬영하였다. 내재한 방사학적(radiometric) 오차 및 기하학적(geometric) 찌그러짐으로 인해, 관측된 영상은 지표면의 모습과 아주 다르다. 관측된 영상을 다양한 목적의 응용을 위해 처리하고 분석하기 전에 이러한 오차를 제거하기 위한 전처리 과정을 반드시 수행하여야 한다. 이 논문은 우리별 1호가 관측한 영상에 방사학적 및 기하학적 보정을 수행하는 전처리 과정을 설명한다.

## 1. 서 론

우리별 1호는 1992년 8월 11일에 프랑스의 Ariane로켓을 이용하여 성공적으로 발사되었다. 위성의 전체 질량은 약 48.6Kg이고 크기는  $35.2 \times 35.6 \times 67.0\text{cm}^3$ 이다. 과학 및 공학 실험의 수행을 위한 CCD 지구 영상 실험 장치, 디지털 신호 처리 실험 장치, 우주선 실험 장치, 디지털 축적 및 전송 실험 장치 등이 우리별 1호에 탑재되었다. 발사 후 이제까지 모든 탑재체들은 어떠한 오류 없이 정상적으로 동작하고 유용한 결과를 만들어내고 있다(Kim et al., 1992; Lee et al., 1993).

CCD 지구 영상 실험 장치는 두 개의 카메라 시스템과 트랜스퓨터로 구현된 영상 처리 시스템으로 이루어진다. 광각 및 협각 카메라로 구성되는 두 개의 카메라 시스템은 각각 2차원 CCD 센서를 사용하고  $568 \times 576$  크기의 흑백 영상을 촬영한다. 광각 카메라는  $96^\circ$ 의 field of view와 4Km의 해상도를 가지며 협각 카메라는  $12^\circ$ 의 field of view와 400m의 해상도를 가진다(Yoo et al., 1994; Yoo 1992).

원격 탐사 데이터의 전처리는 데이터의 처리 및 분석 이전에 수행해야 하는 모든 과정을 포함한다. 원격 탐사 임무에서 생성되는 데이터는 항상 질적으로 최적인 것은 아니다. 모든 원격 탐사 시스템은 개별적으로 카메라의 설계, 위성의 고도, 저장 시스템의 성능 등의 고유한 특성을 갖는다. 예측이 불가능한 외부로부터의 요인들은 재생 데이터의 질에 큰 영향을 끼친다. 전처리 과정은 그러한 부적당한 점들을 감소하거나 제거하는데 꼭 필요하다. 전처리 과정은 크게 방사학적 보정과 기하학적 보정으로 이루어진다(Barrett and Curtis, 1982; Curran 1985).

우리별 1호가 발사된 이후로 CEIE는 500여장의 세계 곳곳의 영상을 촬영하였다. 관측 시스템에 포함된 약간의 불안정성으로 인하여 촬영된 영상에 몇 가지 비정상적인 현상들이 발견되었다. 촬영된 영상의 약 60%는 이러한 비정상적인 현상을 보이지 않았다. 비정상적인 현상이 발생하지 않아서 cloud cover assessment가 의미를 가질 수 있는 영상 중에서 약 반 정도는 40%이

하 *cloud cover*를 유지하고 있다. 비정상적인 현상이 보이지 않고 *Cloud cover*가 적은 영상들은 방사학적 및 기하학적 보정, 모자이크, 다른 위성의 영상들과 합성 등의 처리를 위해 이용되었다.

일반적으로 고가의 원격 탐사 위성의 경우에는 위성이 발사되기 전에 지상과 발사 후 우주에서 카메라 시스템에 대한 다양한 Calibration작업을 통해 많은 데이터를 제공하게 된다. 우리별 1호와 같은 소형 실험 위성의 경우에는 개발 비용의 절감과 기간의 단축을 위해 이러한 Calibration작업을 대부분 생략하게 된다. 지상 및 우주에서 수행한 Calibration 데이터가 우리별 1호에서는 주어지지 않으므로 이 논문에서 언급되는 방사학적 및 기하학적 보정의 방법은 촬영된 영상 자체를 바탕으로 하여 여러 가지 파라미터를 귀납적으로 유추하여 개발되었다.

이 연구에서는 우리별 1호 영상에 방사학적 및 기하학적 보정을 수행하는 방법을 개발하였다. 또한, 개발된 방법을 이용하여 우리별 1호에서 촬영된 영상에 적용하여 그 결과를 언급하였다.

## 2. 방사학적 보정

한 영상의 방사학적 특성이란 그 영상에 기록된 신호 즉, 영상의 화소들의 밝기값이 얼마나 잘 실제의 지표면으로부터 나온 신호를 반영하는가를 나타낸다. 이 장에서는 우리별 1호 영상의 방사학적 특성에 대해서 논해보고자 한다. 그리고 우리별 1호 영상에 존재하는 에러들을 제거하고 양질의 영상을 얻어내기 위해서 우리별 1호 영상에 적용한 방사학적 보정방식에 대해서 설명하고자 한다.

인공위성으로부터 얻어진 영상의 방사학적 특성을 결정하는 요소에는 여러 가지가 있으나 중요한 요소로는 다음의 네 가지로 구분할 수 있다 (SPOT Image, 1987).

- 대기효과 (Atmospheric effects): 지표면으로부터 나온 신호는 반드시 대기층을 지나 영상 기구(Imaging instrument)에 도달하게 된다. 따라서 대기중의 입자들에 의한 빛의 흡수, 산란 등이 일어나게 된다.
- 영상기구내의 광학적 효과: 영상의 해상도(Resolution)는 광학적인 Diffraction Limit에 매우 영향을 받으며 Defocusing등의 광학적 이상현상(anomaly)은 영상의 방사학적 특성에 매우 손상을 준다.
- 영상기구내의 전자장치들에 의한 효과: 전자 잡음(Electronic noise)은 영상신호의 가장 주요한 잡음원 중의 하나이다. 따라서 CCD소자 및 CCD구동을 위한 전자장치들은 CCD에서 출력된 신호가 CCD로 입력되어진 신호와 비례하도록 잘 설계되어야 한다.
- 영상기구의 열화현상(Degradation): 혹독한 우주환경상에 노출된 상태인 영상기구의 광학부분과 전자장치들은 시간이 흐름에 따라 급격한 열화현상을 보이며 이러한 열화현상은 영상신호의 특성을 매우 저하시킬 수 있다.

양질의 영상을 얻기 위해서는 위의 네 가지 요소들을 충분히 고려하여 적절한 방사학적 보정 방법을 개발하여 영상에 적용시켜야 한다. 이러한 방사학적 보정 방법의 개발을 위해서 영상 취득 당시의 대기상태, 카메라 보정 변수(Calibration Parameters), 카메라의 CCD전자장치 등에 대한 자세한 정보가 필요하다. 그러나 우리별 1호와 같은 소형위성에서는 소형위성이 갖는 여러 가지 제약으로 말미암아 이러한 정보를 모두 제공해주기가 실질적으로 불가능하며 이런 정보를 모두 고려한 방사학적 보정 방법의 연구 및 개발 역시 현실적으로 어려운 일이다. 따라서 연구의 방향을 우선 우리별 1호 영상의 방사학적 특성을 분석하여, 방사학적 에러들을 검출해 내고, 발견된 에러들을 교정하는 위주의 방사학적 보정 방법의 개발에 맞추었다. 우선 이제 까지 우리별 1호 영상에서 검출된 방사학적 에러들은 다음과 같은 네 가지로 요약될 수 있다.

- 백색띠의 존재: 대부분의 우리별 1호 영상에서 약 4 화소 (Pixel) 넓이의 주변의 행보다 밝은 행의 띠가 발견되었다. 이 백색띠는 영상 취득시 CCD소자 내의 전력증강(Power Surge)으로 인한 영향인 듯 싶다(Ward, 1991). 이 백색띠는 최근에 찍은 사진일수록 더욱 뚜렷하게 나타나고 있으며 이 사실은 우리별 1호 카메라가 우주 상에서의 운용시간이 지난에 따라 생기는 열화현상이 백색띠 문제를 더 심각하게 만든다는 것을 잘 보여 주고 있다.
- 짹수행과 훌수행 화소의 밝기값 차이: 우리별 1호 영상의 짹수행 (행 0, 2, 4, 등) 화소의 평균 밝기값이 훌수행 (행 1, 3, 5, 등) 화소의 평균 밝기값보다 큰 것이 관찰되었다. 한 화소의 밝기 밝기값을 최대 255로 나타낼 때 짹수행과 훌수행의 평균값은 약 3의 차이를 보이는 것으로 나타났다. 이 에러는 CCD소자에서 짹수행과 훌수행을 읽어오는 방법에 기인한 것이다. CCD소자에 기억된 영상신호를 읽을 때 우선 훌수행을 먼저 읽어내고 난 뒤 짹수행을 읽는다. 이것은 결과적으로 훌수행과 짹수행에 각각 다른 신호축적시간 (Integration time)을 부여한 결과가 되어 보다 긴 신호축적시간을 가진 짹수행이 더 많은 광자 (Photon)를 축적하게 되고 따라서 평균적으로 더 밝은 화소값을 가지게 된다.
- 화소의 포화 현상: 많은 우리별 영상에서 구름이 너무 밝게 나타났고 구름에 해당하는 화소의 밝기값은 최대치(255)로 포화(Saturated)되었다. 이 현상은 영상의 질감(Contrast)을 나쁘게 한다. 이러한 에러가 나타나는 이유는 CCD의 영상축적시간이 너무 길고 CCD전자장치의 이득값이 너무 높게 설정되었기 때문이다. 더욱이 구름에 해당하는 밝은 화소의 영향으로 주변의 화소들의 밝기값도 같이 증가한 듯한 경우가 자주 발생하였다. 이것은 CCD 소자 내의 포화된 CCD 셀이 주변의 셀의 값에 영향을 주기 때문인 듯 하다.
- 우리별 1호에 탑재한 카메라의 열화현상: 우리별 1호를 발사한 직후에 찍은 사진들에 비하면 최근에 찍은 사진들에서 더 심한 에러를 발견할 수 있다. 예를 들어 백색띠가 나타나는 빈도도 위성의 작동시간이 길어가면서 더 심해지고 있고 영상의 질감 역시 나빠지고 있다. 또한 하드웨어로 인한 에러의 횟수 역시 시간이 지난에 따라 늘고 있다.

위에서 밝힌 이러한 에러들을 해소하기 위해 우리별 1호 영상에 적용시킨 보정방법은 다음과 같다.  $g(i, j)$ 가 한 영상의 번째 열, 번째 행의 화소의 밝기값이라고 하자. 그러면 영상 내에

서 백색띠의 존재의 여부와 그 위치는 다음의 공식에 의하여 알아낼 수 있다.

$$\begin{aligned}
 \mathbf{A_j} &= \sum_i g(i,j) \\
 A_j, A_{j+1}, A_{j+2}, A_{j+3} &> A_{j-1} \\
 A_j, A_{j+1}, A_{j+2}, A_{j+3} &> A_{j+4} \\
 A_j - A_{j-1} &> T \\
 A_{j+3} - A_{j+4} &> T
 \end{aligned} \quad \dots \quad (1)$$

위의 공식에서  $A_j$ 는  $j$ 번째 행에 있는 화소들의 밝기값의 평균이고  $T$ 는 사용자가 정의하는 임계값(Threshold)이다. 처음 두개의 부등식은 연속되는 네 개의 행이 주위의 행보다 더 큰 평균 밝기값을 가짐을 나타낸다. 뒤의 두 부등식은 백색띠 내의 행의 평균 밝기값은 백색띠 주변의 행의 평균 밝기값에 비해 일정 정도 이상 밝아야 함을 나타내고 있다. 이와 같이 하여 백색띠의 존재의 여부와 그 위치를 알아낸 후 백색띠의 제거 작업은 다음의 공식을 이용하여 실행하게 된다.

위의 공식에서  $k$ 는 백색띠가 시작하는 행이다. 백색띠는 백색띠상의 화소의 밝기값을 백색띠상하에 있는 화소의 밝기값의 변화에 일치하도록 지정해 줌으로써 제거된다.

홀수행과 짝수행의 평균 밟기값이 다르게 나타나는 예라는 다음의 비교적 간단한 공식으로 없앨 수 있다.

$$A_j = \sum_i g(i, j) \quad \dots \quad (3)$$

*A*는 전과 마찬가지로  $j$ 번째 행의 평균 밝기값이다. 훌수행 상에 있는 화소의 밝기값은 그 훌수행의 상하에 있는 짹수행 상의 화소들의 밝기값 차이에 비례하도록 새로이 설정된다.

### 3. 기하학적 보정

위성에서 관측한 대부분의 지표면 영상들은 기하학적으로 크게 찌그러져 있다. 이러한 찌그러짐은 주로 지구, 위성 및 궤도의 요인에 의해 비롯된다. 지구의 회전, 편구(oblateness) 모양, 속도와 위성의 속도, 고도, 자세의 변화가 영상의 찌그러짐에 크게 기여한다. 또한, 지구의 구표

면 상에 편평한 영상을 투영하는 것도 기하학적 변형을 일으키는 중요한 요인이다. 이러한 변형들을 정확히 고려하지 않으면 모자이크, 분류화(classification), 상호 비교, 다른 영상과의 합성 등과 같은 영상 처리에 과정들이 의미 있는 결과를 내기에 힘들다.(Mather 1987)

원격 탐사 영상에 내재한 기하학적 찌그러짐의 보정은 크게 세 가지 방법을 통해 이루어진다. 첫번째는 센서, 위성, 궤도 및 지구의 기하에 근거한 모델을 이용해 보정하는 방법이다. 둘째는 관측된 영상에서 지도로부터 식별 가능한 지점(제어점, control points)들을 선택하고 관측된 영상에서 제어점의 위치와 지도상의 위치의 관계를 나타내는 함수를 유도하여, 유도된 함수를 이용해 보정하는 방법이다. 세째는 두 번째 방법에서 이용하는 제어점과의 관계로부터 첫번째 방법에서 이용하는 기하학적 모델을 더 정교하게 개량하여 개량된 모델을 이용하여 보정하는 방법이다.

우리별 1호와 같은 소형 실험 위성들은 대부분 실현적인 지표면 활영 탑재체를 포함한다. 그러한 소형 실험 위성들은 불충분하거나 부정확한 센서로 인해 위성의 위치 및 고도에 대해 아주 한정된 정보만을 제공한다. 그러므로, 소형 실험 위성들의 지표면 관측 영상을 첫 번째 방법을 이용하여 정확한 기하학적 보정을 수행하기에는 많은 어려움이 따른다. 일반적으로 두 번째 방법을 이용하여 기하학적 보정을 수행하는 데 보정을 위해 유도된 함수는 전체 기하학적 찌그러짐의 과정을 정확하게 표현하기에 어렵기 때문에 좋은 결과를 만들기 힘들다.

우리별 1호의 자세 결정 및 제어 시스템(Attitude Determination and Control System, ADCS)

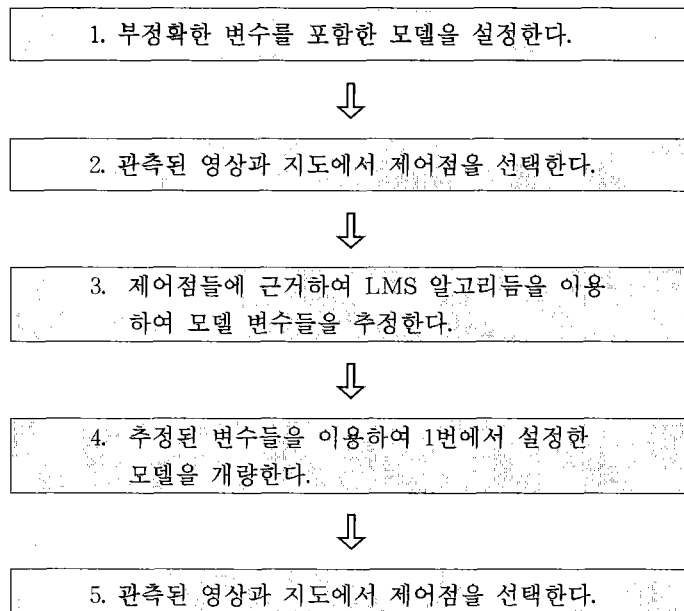


Fig. 1. The flow chart of geometric correction

은 자세의 안정화를 위해 중력 구배 봄(gravity gradient boom)을 이용하고 자세 결정을 위해 정확하고 충분한 정보를 제공하기에는 부족한 몇 개의 자세 측정 센서를 포함한다. ADCS는 위성과 지구의 중심을 잇는 축에서 위성의 자세가 얼마나 벗어나 있는가를 의미하는 지향 오차의 정보는 제공하지만 정확하게 어느 방향으로 벗어나 있는가에 대한 정보는 자세 센서의 부족으로 인해 제공하지 못한다. 결국 위성의 자세를 표현하는 3축 정보에서 단지 1축 정보만 알 수 있다. 이로 인해 우리별 1호 영상의 기하학적 찌그러짐의 과정에 대한 정확한 모델을 수립하는데 큰 어려움이 있다. 그리하여, 초기에는 두 번째 방법이 기하학적 보정을 수행하는 데 주로 이용되었지만 보정된 결과는 만족스럽지 못하였다.

우리별 1호에서 기하학적 모델은 6개의 부정확한 변수들을 포함한다. 6개의 변수는 위성의 자세를 나타내는 pitch, yaw, roll 각과 위치를 나타내는 위도, 경도, 고도로 이루어진다. 특히 ADCS는 오직 1축 정보만을 제공하기 때문에 3축의 정보를 갖는 위성 자세를 충분히 나타낼 수 없다. 이 논문에서는 우리별 1호 기하학적 모델의 변수들을 영상과 지도에서 선택된 제어점 사이의 관계를 이용하여 최소 자승법(least mean square, LMS)을 통하여 추정하였다. Fig. 1은 이 논문에서 적용한 기하학적 보정의 과정을 보여준다.

### 3.1 기하학적 모델의 수립

Fig. 2는 우리별 1호 CCD 카메라의 기하학적 모델을 정의하기 위한 기본 원리를 보여주고 있다. CCD 센서 상의 한 점 A, 렌즈의 중심인 B, 지표면의 임의의 한 점인 C와 같은 세 가지 점이 정의되었다. A에서 B를 잇는 벡터를 L로 B에서 C를 잇는 벡터를 M이라 정의하자. 점A와 점B의 좌표를 알면 벡터 M과 L이 평행하다는 조건에서 점C의 좌표를 알아낼 수 있다. 이 조건은 점C의 상이 CCD 센서 상의 점A에 맷히는 것을 의미한다.

4개의 좌표계가 CCD센서(C1), 위성(C2), 궤도(C3), 지구(C4)에서 각각 Fig. 3과 같이 정의되

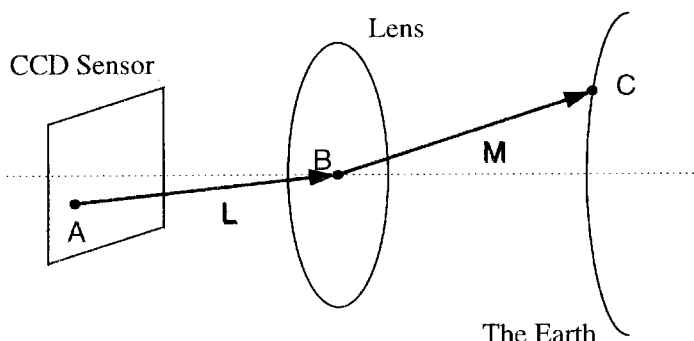


Fig. 2. Fundamental principle for deriving geometric model

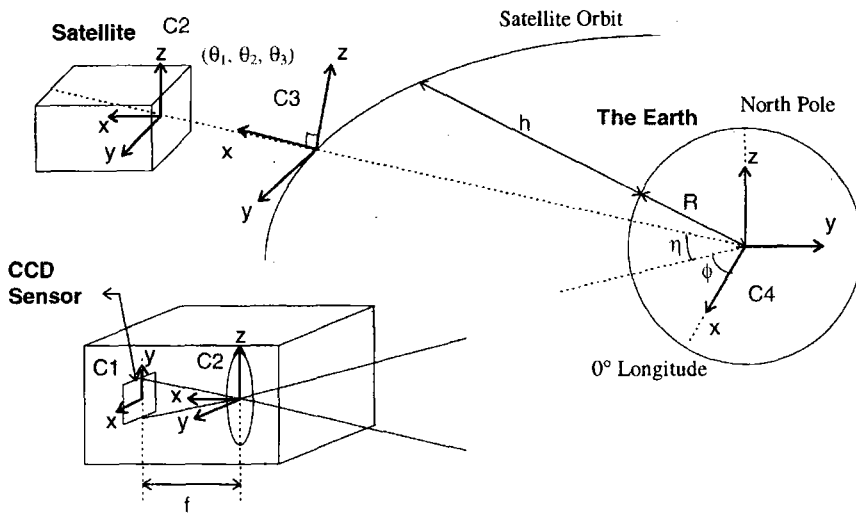


Fig. 3. Definition of various coordinate systems

었다.

C1 좌표계에서 CCD센서 상의 임의의 한 점을  $(x, y)$ 라 정의하고 그 점에서 맷하는 상의 지표면의 위의 위도, 경도의 좌표를  $(\alpha, \beta)$ 라 하자. 우리별 1호의 기하학적 모델에 의하여 정해지는 함수를  $T$ 라 하고 그 역함수를  $T^{-1}$ 이라고 하면, 아래와 같은 관계를 만족한다.

### 3.1.1 정함수 모델

아래는 위에서 언급된 함수  $T$ 를 유도하는 과정을 언급한다. 점 A의 좌표는 C2좌표계로 식(6)처럼 표현되므로, 벡터  $L$ 은 식(7)처럼 유도된다.

만약 C2와 C3좌표계 사이의 회전 행렬을  $R_{23}$ 라하고, C3과 C4사이의 회전 행렬을  $R_{34}$ 라 하고  $c_1 = \cos\theta_1$ ,  $s_1 = \sin\theta_1$ ,  $c_2 = \cos\theta_2$ ,  $s_2 = \sin\theta_2$ ,  $c_3 = \cos\theta_3$ ,  $s_3 = \sin\theta_3$ ,  $c_4 = \cos\phi$ ,  $s_4 = \sin\phi$ ,  $c_5 = \cos\eta$ , and  $s_5 = \sin\eta$ 일 때 벡터 L은 C4좌표계에서 아래처럼 유도된다.  $\theta_1, \theta_2, \theta_3$ 는 위성의 자세를 나타내는 각도이고,  $\phi, \eta$ 는 위상의 위치를 나타내는 좌표이다.

$$\begin{aligned} \mathbf{L}_{C4} &= \begin{bmatrix} l_x \\ l_y \\ l_z \end{bmatrix} = R_{34} R_{23} \mathbf{L}_{C2} \\ &= \begin{bmatrix} c_4c_5 & -s_4 & -c_4s_5 \\ s_4c_5 & c_4 & -s_4s_5 \\ s_5 & 0 & c_5 \end{bmatrix} \begin{bmatrix} c_1c_2 & c_1s_2s_3 + s_1c_3 & -c_1s_2c_3 + s_1s_3 \\ -s_1c_2 & -s_1s_2s_3 + c_1c_3 & s_1s_2c_3 + c_1s_3 \\ s_2 & -c_2s_3 & c_2c_3 \end{bmatrix} \begin{bmatrix} -f \\ -x \\ -y \end{bmatrix} \quad (8) \end{aligned}$$

점B의 위치는 C4좌표계에서는 위성의 위치와 거의 동일하다. 위성의 위치는 아래와 같다. R은 지구의 반지름과 h는 위성의 고도를 나타낸다.

$$\mathbf{B}_{C4} = ((R+h)c_5c_4, (R+h)c_5s_4, (R+h)s_5) \quad (9)$$

지구 표면상에서 위도와 경도로 정해지는 임의의 한 점 C의 좌표는 아래와 같다.

$$\mathbf{C} = (R\cos\beta\cos\alpha, R\cos\beta\sin\alpha, R\sin\beta) \quad (10)$$

점B에서 점C를 잇는 벡터 M은 아래처럼 표현된다.

$$\mathbf{M} = \mathbf{C} - \mathbf{B} = (R\cos\beta\cos\alpha - (R+h)c_5c_4, R\cos\beta\sin\alpha - (R+h)c_5s_4, R\sin\beta - (R+h)s_5) \quad (11)$$

벡터 M과 벡터 L이 평행하다는 조건은 아래와 같은 세 가지 관계식을 유도한다.(k는 임의의 실수)

$$\begin{aligned} R\cos\beta\cos\alpha - (R+h)c_5c_4 &\approx kl_x \\ R\cos\beta\sin\alpha - (R+h)c_5s_4 &\approx kl_y \\ R\sin\beta - (R+h)s_5 &\approx kl_z \end{aligned} \quad (12)$$

만약  $\cos\beta = 0$ 이면, 이는 북극점이나 남극점을 의미하며 경도를 나타내는  $\alpha$ 는 무의미하다. 만약  $\cos\beta \neq 0$ 라면, k에 대한 2차 방정식이 식(12)로부터 유도되며 식(13)처럼 나타난다.

$$k^2(l_x^2 + l_y^2 + l_z^2) + 2k(R+h)(l_xc_5c_4 + l_yc_5s_4 + l_zs_5) + (R+h)^2 - R^2 = 0 \quad (13)$$

위성의 위치를 나타내는 좌표이기 때문에,  $l_x^2 + l_y^2 + l_z^2$ 는 결코 0이 될 수 없으므로, 식(13)의 2차 방정식을 풀어 k를 구한다. 마지막으로 식(12)로부터  $\alpha$ 와  $\beta$ 를 아래와 같이 k에 대해 나타낼 수 있으며 식(13)을 통해 구한 k를 대입하여  $\alpha$ 와  $\beta$ 를 구한다.

$$\beta = \sin^{-1} \left( \frac{kl_z + (R+h)s_5}{R} \right) \quad (14)$$

$$\alpha = \tan^{-1} \left( \frac{kl_y + (R+h)c_5 s_4}{R \cos \beta}, \frac{kl_y + (R+h)c_5 c_4}{R \cos \beta} \right)$$

식(13)이 2차 방정식이므로 일반적으로 2개의 상이한  $k$ 값을 얻을 수 있고, 따라서 식(14)로부터 두 쌍의 위도 및 경도 좌표를 구할 수 있다. 두 쌍의 좌표 중 위성으로부터의 거리가 더 짧은 점이 올바른 좌표이다. 식(4)에서 정의된 함수  $T$ 는 식(6~14)로부터 유도되었다.

### 3.1.2 역함수 모델

기하학적 모델의 역함수인  $T^{-1}$ 을 식(6)~(14)로부터 반대로 유도할 수 있다. 벡터  $L_{C4}$ 는 식(12)로부터 다음처럼 유도된다.

$$L_{c4} = \begin{bmatrix} l_x \\ l_y \\ l_z \end{bmatrix} = \frac{\mathbf{W}}{k}, \text{ where } W = \begin{bmatrix} R \cos\beta \cos\alpha - (R+h)c_5c_4 \\ R \cos\beta \sin\alpha - (R+h)c_5s_4 \\ R \sin\beta - (R+h)s_4 \end{bmatrix} \dots \quad (15)$$

$R_{23}$ 과  $R_{34}$ 는 좌표계 사이의 회전 행렬이므로 각각은 직교 행렬이다. 그러므로, 벡터  $L_{C2}$ 는 아래처럼 표현된다.

$$\mathbf{L}_{c2} = \begin{bmatrix} -f \\ -x \\ -y \end{bmatrix} = \mathbf{R}_{23}^{-1} \mathbf{R}_{34}^{-1} \mathbf{L}_{C4} = \frac{1}{k} \mathbf{R}_{23}^T \mathbf{R}_{34}^T \mathbf{W} \quad \dots \dots \dots \quad (16)$$

$k$ ,  $x$ ,  $y$ 는 식(16)로부터 아래처럼 유도된다.

기하학적 모델의 역함수는 식(15)~(17)에서 결정되었다.

### 3.2 기하학적 모델 변수의 추정

앞에서 정의된 기하학적 모델은 6개의 미지의 또는 불확실한 변수들( $\theta_1, \theta_2, \theta_3, \phi, \eta, h$ )을 포함하고 있다. 이러한 변수들은 위성의 영상과 지도에서 선택한 몇 개의 제어점들을 이용하여 최소 자승법을 적용하여 추정할 수 있다. 정합수 모델은 직선과 곡면의 교점을 구하는 문제인

데 반해 역함수 모델은 직선과 평면의 교점을 찾는 문제로 귀결되므로 역함수 모델이 더 간단히 표현된다. 그러므로, 모델 변수의 추정을 위해 역함수 모델이 이용되었다.

몇 개의 제어점을 위성의 영상과 지도를 비교하여 선택한 후 각각  $(x_m, y_m)$ 과  $(\alpha_m, \beta_m)$ 라 표시하자. 최소 자승법으로 제어점을 이용하여 기하학적 모델의 변수를 반복적으로 추정하게 된다. 부정확한 변수  $(\theta_1', \theta_2', \theta_3', \phi', \eta', h')$ 를 포함하는 역함수 모델은  $(\alpha_m, \beta_m)$ 를 입력으로 하여  $(x_m', y_m')$ 를 출력한다.

$$(x_m', y_m') = \mathbf{T}^{-1}(\theta_1', \theta_2', \theta_3', \phi', \eta', \mathbf{h}'; \alpha_m, \beta_m) \quad \dots \quad (18)$$

$(x_m', y_m')$ 는 아주 정확한 모델을 사용하였다면 이론적으로는  $(x_m, y_m)$ 와 같아야 하지만 그렇지 못하기 때문에 발생하는 오차를 아래와 같이 정의하자( $n$ 은 모델 변수 추정에 사용된 제어점의 개수를 의미함).

최소 자승법은 식(19)에서 정의된 오차를 최소화하는 6개의 변수들을 결정하기 위하여 이용된다. 변수 추정을 반복적으로 수행할 때, 현재 추정된 변수들( $P_n$ )로부터 유도되는 다음 번 추정 변수들  $P_{n+1}$ 은 아래와 같은 관계식을 갖는다( $c$ 는 적절히 작은 크기의 상수임).

$$P_{n+1} = P_n - c \nabla E = P_n - c \left( \frac{dE}{d\theta_1}, \frac{dE}{d\theta_2}, \frac{dE}{d\theta_3}, \frac{dE}{d\phi}, \frac{dE}{d\eta}, \frac{dE}{dh} \right) \dots \quad (20)$$

식(20)에 포함된 미분값들은 부록에 있는 식(23)~(26)에서 유도된다.

모델 변수들은 위성의 자세와 위치에 대한 아래의 두 가지 조건을 만족한다고 가정하였다.

( i ) 위성의 자세는 위성과 지구 중심을 잇는 축으로부터 15도 이상 벗어나지 않는다.

(ii) 궤도 모델로부터 예측된 위성의 위치는 실제 위성의 위치로부터 위도 및 경도는 2도 이하의 오차를 포함하고 고도는 30Km 이하의 오차를 갖는다.

위에서 언급된 두 가지 조건들은 각각 수식적으로 아래처럼 표현된다. 여기서  $\delta$ 는 벗어난 각도를 의미하고,  $\theta_0$ ,  $\eta_0$ ,  $h_0$ 는 궤도 모델에서 예측된 위성의 위치를 나타내는 위도, 경도, 고도를 각각 나타낸다. 또한,  $R_{23, nm}$ 은  $R_{23}$  행렬의 n번째 행의 m번째 열의 요소의 값을 나타낸다.

$$\delta = \tan^{-1} \left( \frac{\sqrt{{\mathbf{R}_{23,21}}^2 + {\mathbf{R}_{23,31}}^2}}{\mathbf{R}_{23,11}} \right) = \tan^{-1} \left( \frac{\sqrt{(c_1 c_2)^2 + (-s_1 c_2)^2}}{s_2} \right) \leq 15^\circ \quad \dots \dots \dots (21)$$

$$\begin{aligned} |\phi - \phi_0| &\leq 2^\circ \\ |\eta - \eta_0| &\leq 2^\circ \\ |h - h_0| &< 30 \text{ km} \end{aligned} \quad \dots \quad (22)$$

모델 변수들은 식(20)을 이용하여 식(21)~(22)의 조건을 만족하는 범위에서 반복적으로 추정될 수 있다. 이런 방법으로 추정된 변수들을 포함한 기하학적 모델을 사용하여 우리별 1호의 기하학적 찌그러짐을 제거하였다.

#### 4. 결 과

Fig. 4에서 6까지는 우리별 1호가 1995년 5월 8일 남부 유럽을 광각 카메라로 찍은 영상의 전처리 결과를 보여준다. Fig. 4는 전처리 이전의 미가공 영상을 보여준다. 방사학적 보정이 수행된 영상은 Fig. 5에서 볼 수 있다. 미가공 영상의 흰색 수평선이 제거된 것을 볼 수 있다. Fig. 6은 기하학적으로 보정된 영상을 위도 및 경도 격자에서 나타낸 것이다. 이 영상을 수정하기 위

Table 1. The values of the estimated model parameters

변수	이 름	수 치
$\theta_1$	pitch	-10.6551°
$\theta_2$	roll	0.0361°
$\theta_3$	yaw	32.1341°
$\phi$	경 도	28.3961°E
$\eta$	위 도	40.9716°N
h	고 도	1290.0651Km



Fig. 4. Raw image before preprocessing



Fig. 5. Image after radiometric correction



Fig. 6. Image projected to latitude and longitude grid after radiometric and geometric correction

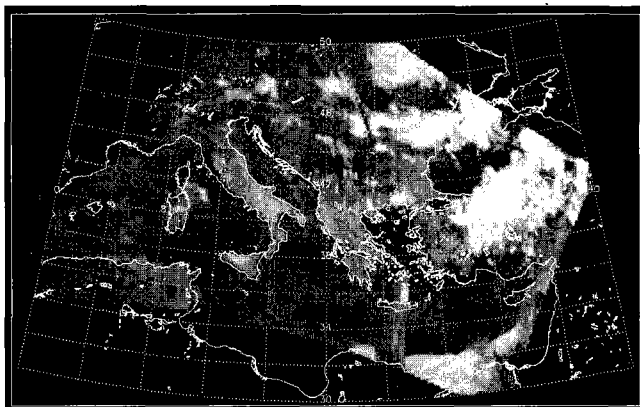


Fig. 7. Preprocessed image projected to TM grid comparing with map coast line

한 모델을 형성하기 위해 추정된 모델 변수들은 아래 Table 1과 같다.

이 영상이 촬영될 때 위성의 지향 오차는 식(25)를 통해 약 10.7도로 계산되었다. Mercator 도법의 지도에 보정된 영상을 투영한 결과를 Fig. 7에서 볼 수 있다. Fig. 7에서 흰색 선은 지도에서의 해안선이다. 지도와 비교한 영상을 살펴보면 특히 Fig. 7의 중앙 부분인 이탈리아 반도 부근은 지도와 관측 영상이 상당히 잘 일치한다는 것을 알 수 있다. 중앙에서 멀어질수록 기하학적 뒤틀림이 점점 커지기 때문에 제어점을 잡기 어려웠다. 그래서, 제어점을 주로 영상의 중앙 부분에서 많이 선택하였기 때문에 중앙에서 멀어질 수록 그 오차가 큰 것을 볼 수 있다. 그러나, 뒤틀림이 큰 가장 자리 부분보다는 중앙 부분에 더 큰 관심이 있기 때문에 가장 자리에서 비교적 큰 오차가 발생하는 것은 허용할 수 있다.

이 밖에도 우리별 1호의 광각 및 협각 카메라로 관측된 많은 수의 영상에 보정을 시도하였

다. 결과적으로 대부분의 영상에서 선택된 제어점이 최대 약 0.1픽셀의 오차 내에서 보정되는 것이 확인되었다.

## 5. 결 론

우리별 1호의 CCD 지구 관측 실험 장치는 저 가격의 위성체와 카메라를 이용한 지표면 관측의 많은 가능성을 보여주었다. 지구 관측 실험 장치는 때로는 비정상적인 현상을 보이기도 했지만 원격 탐사 응용을 위해서 처리 및 분석에 이용될 수 있는 적절한 화질과 적은 cloud cover를 갖는 많은 영상들을 얻었다.

이 논문에서는 우리별 1호 영상을 위해 개발된 방사학적 및 기하학적 보정 방법을 언급하였고 그러한 방법들을 촬영된 다수의 영상에 적용하였다. 개발된 방사학적 및 기하학적 보정 방법은 우리별 1호 영상을 보정하는데 뛰어난 성능을 보이며 다른 원격 탐사 위성에서 촬영한 영상의 전처리 과정을 개발하는 기반으로 이용될 수 있을 것이다.

특히 개발된 기하학적 보정 방법은 우리별 1호처럼 자세 지향 오차가 아주 크고 측정된 자세 정보가 불충분한 대부분의 소형 실험 위성이 촬영한 영상을 비교적 정확하게 보정할 수 있다는 데 큰 장점이 있다. 기존의 상용 위성들은 최소의 자세 지향 오차를 위해 다양한 자세 제어 Actuator를 사용하고 여러 개의 자세 측정 센서를 탑재하여 3축의 완벽한 자세 정보를 얻으려고 노력한다. 그러나, 개발된 방법을 이용하면 자세 지향 및 자세 측정을 위한 까다로운 요구 사항을 만족하지 않더라도 적당한 수준의 오차를 갖는 보정을 수행할 수 있다.

## 참고 문헌

- Barrett, E. C. & Curtis, L. F., 1982, "Introduction to Environmental Remote Sensing 2nd Ed.", Chapman and Hall Ltd., pp. 129~140
- Curran, P. J., 1985, "Principles of Remote Sensing", John Wiley & Sons Inc.
- Kim, S. K., Sung D. K. & Choi, S. D., 1992, "A Korean Experimental Microsatellite - KITSAT-1 System", AP-MCSTA
- Lee, I., Sung, D. K. & Choi, S. D., 1993, "Multimissional Experimental Microsatellites-KITSAT Series, the 7th Annual AIAA/USU Conference on Small Satellites", Logan, USA
- Mather, P. M., 1987, "Computer Processing of Remote Sensed Images (An Introduction)", John Wiley & Sons
- SPOT Image, 1988, "SPOT User's Handbook - Volume 1 Reference Manual, CNES and SPOT

Image”

Ward, J., 1991, "The UO-22 Earth Imaging System", The AMSAT Journal, Vol.14, No.6, pp. 1~7

Yoo, S. K., 1992, "Camera Head", SaTReC Internal Document, Vol. 6A-CAM

Yoo, S. K., Lee, S. R., Kim, H. J., Lim, H. J., Lee, H. S., Sung, D. K. & Choi, S. D., 1994, "The KITSAT-2 CCD Earth Imaging System Experiment, European Symposium on Satellite Remote Sensing", Rome, Italy

부록

식(20)에 포함된 미분값들은 식(23)~(26)에서 유도된다. 만약  $p_k$ 를  $p$ 의 임의의 한 요소라 하면,  $p_k$ 에 대한 오차  $E$ 의 미분값은 아래처럼 기술된다.

$$\frac{dE}{dp_k} = \frac{1}{n} \sum_{m=1}^n \left\{ 2(x_m' - x_m) \frac{dx_m'}{dp_k} + 2(y_m' - y_m) \frac{dy_m'}{dp_k} \right\} \dots \quad (23)$$

식(23)에 포함된 각 모델 변수에 대한  $x_n$ '와  $y_n$ '의 미분값은 아래처럼 표현된다. 아래에서 행렬을 표기할 때,  $[ ]_n$ 은 행렬의 n번째 요소,  $[ ]_{n,m}$ 은 행렬의 n 및 m 번째 요소를 의미한다.

$$\left[ \begin{array}{c} \frac{dx_n'}{d\theta_1} \\ \frac{dy_n'}{d\theta_1} \end{array} \right] = \left[ \frac{1}{k^2} \mathbf{R}_{23}^T \mathbf{R}_{34}^T \mathbf{W} \frac{dk}{d\theta_1} \right]_{2,3} - \left[ \frac{1}{k} \frac{d\mathbf{R}_{23}^T}{d\theta_1} \mathbf{R}_{34}^T \mathbf{W} \right]_{2,3} \dots \quad (24a)$$

$$\begin{bmatrix} \frac{dx_n}{d\theta_2} \\ \frac{dy_n}{d\theta_2} \end{bmatrix} = \left[ \frac{1}{k^2} \mathbf{R}_{23}^T \mathbf{R}_{34}^T \mathbf{W} \frac{dk}{d\theta_2} \right]_{2,3} - \left[ \frac{1}{k} \frac{d\mathbf{R}_{23}}{d\theta_2}^T \mathbf{R}_{34}^T \mathbf{W} \right]_{2,3} \dots \quad (24b)$$

$$\begin{bmatrix} \frac{dx_n'}{d\theta_3} \\ \frac{dy_n'}{d\theta_3} \end{bmatrix} = \left[ \frac{1}{k^2} \mathbf{R}_{23}^T \mathbf{R}_{34}^T \mathbf{W} \frac{dk}{d\theta_3} \right]_{2,3} - \left[ \frac{1}{k} \frac{d\mathbf{R}_{23}^T}{d\theta_3} \mathbf{R}_{34}^T \mathbf{W} \right]_{2,3} \dots \quad (24c)$$

$$\left[ \begin{array}{c} \frac{dx_n}{d\phi} \\ \frac{dy_n}{d\phi} \\ \frac{dz_n}{d\phi} \end{array} \right] = \left[ \begin{array}{c} \frac{1}{k^2} \mathbf{R}_{23}^T \mathbf{R}_{34}^T \mathbf{W} \frac{dk}{d\phi} \\ \vdots \\ \vdots \end{array} \right]_{2,3} - \left[ \begin{array}{c} \frac{1}{k} \mathbf{R}_{23}^T \left\{ \frac{d\mathbf{R}_{34}}{d\theta}^T \mathbf{W} + \mathbf{R}_{34}^T \frac{d\mathbf{W}}{d\phi} \right\} \\ \vdots \\ \vdots \end{array} \right]_{2,3} \dots (24d)$$

$$\begin{bmatrix} \frac{dx_n}{d\eta} \\ \frac{dy_n}{d\eta} \end{bmatrix} = \left[ \frac{1}{k^2} \mathbf{R}_{23}^T \mathbf{R}_{34}^T \mathbf{W} \frac{dk}{d\eta} \right]_{2,3} - \left[ \frac{1}{k} \mathbf{R}_{23}^T \left\{ \frac{d\mathbf{R}_{34}^T}{dV} \mathbf{W} + \mathbf{R}_{34}^T \frac{d\mathbf{W}}{dV} \right\} \right]_{2,3} \dots (24e)$$

$$\begin{bmatrix} \frac{dx_n'}{dh} \\ \frac{dy_n'}{dh} \end{bmatrix} = \left[ \frac{1}{k^2} \mathbf{R}_{23}^T \mathbf{R}_{34}^T \mathbf{W} \frac{dh}{dh} \right]_{2,3} - \left[ \frac{1}{k} \mathbf{R}_{23}^T \mathbf{R}_{34}^T \frac{d\mathbf{W}}{dh} \right]_{2,3} \dots \quad (24f)$$

식(24)에 포함된 각 모델 변수에 대한 k의 미분값들은 아래와 같다.

$$\left[ \frac{dk}{d\theta_1} \right] = - \left[ \frac{1}{f} \frac{d\mathbf{R}_{23}^T}{d\theta_1} \mathbf{R}_{34}^T \mathbf{W} \right]_1 \quad \dots \quad (25a)$$

$$\left[ \frac{dk}{d\theta_2} \right] = - \left[ \frac{1}{f} \frac{d\mathbf{R}_{23}^T}{d\theta_2} \mathbf{R}_{34}^T \mathbf{W} \right]_1 \dots \quad (25b)$$

$$\left[ \frac{dk}{d\theta_3} \right] = - \left[ \frac{1}{f} \frac{d\mathbf{R}_{23}^T}{d\theta_3} \mathbf{R}_{34}^T \mathbf{W} \right]_1 \dots \quad (25c)$$

$$\left[ \frac{dk}{d\theta} \right] = - \left[ \frac{1}{f} \mathbf{R}_{23}^T \left\{ \frac{d\mathbf{R}_{34}^T}{d\phi} \mathbf{W} + \mathbf{R}_{34}^T \frac{d\mathbf{W}}{d\phi} \right\} \right]_1 \dots \quad (25d)$$

$$\left[ \frac{dk}{d\eta} \right] = - \left[ \frac{1}{f} R_{23}^T \left\{ \frac{dR_{34}^T}{d\eta} W + R_{34}^T \frac{dW}{d\eta} \right\} \right]_1 \dots \quad (25e)$$

$$\left[ \frac{dk}{dh} \right] = - \left[ \frac{1}{f} \mathbf{R}_{23}^T \mathbf{R}_{34}^T \frac{dW}{dh} \right]_1 \dots \quad (25f)$$

식(24)~(25)에서 포함된 헤렐 또는 벡터의 각 모델 변수에 대한 미분값들은 아래와 같다.

$$\left[ \frac{d\mathbf{R}_{23}^T}{d\theta_1} \right] = \begin{bmatrix} -s_1c_2 & -s_1s_2s_3 + c_1c_3 & s_1s_2c_3 + c_1s_3 \\ -c_1c_2 & -c_1s_2s_3 - s_1c_3 & c_1s_2c_3 - s_1s_3 \\ 0 & 0 & 0 \end{bmatrix}^T \dots \quad (26a)$$

$$\left[ \frac{d\mathbf{R}_{23}^T}{d\theta_2} \right] = \begin{bmatrix} -c_1 s_2 & -c_1 c_2 c_3 & -c_1 c_2 s_3 \\ s_1 s_2 & -s_1 c_2 s_3 & s_1 c_2 c_3 \\ c_2 & s_2 s_3 & -s_2 c_3 \end{bmatrix}^T \dots \quad (26b)$$

$$\left[ \frac{d\mathbf{R}_{23}^T}{d\theta_3} \right] = \begin{bmatrix} 0 & c_1 s_2 c_3 - s_1 c_3 & c_1 s_2 s_3 + s_1 c_3 \\ 0 & -s_1 s_2 c_3 - c_1 s_3 & -s_1 s_2 s_3 + c_1 c_3 \\ 0 & -c_2 c_3 & -c_2 s_3 \end{bmatrix}^T \dots \quad (26c)$$

$$\left[ \frac{d\mathbf{R}_{34}^T}{d\phi} \right] = \begin{bmatrix} -s_4c_5 & -c_4 & s_4s_5 \\ c_4c_5 & -s_4 & -c_4s_5 \\ 0 & 0 & 0 \end{bmatrix}^T \dots \quad (26d)$$

$$\left[ \frac{d\mathbf{R}_{34}^T}{d\eta} \right] = \begin{bmatrix} -s_4c_5 & 0 & -c_4c_5 \\ -s_4s_5 & 0 & -s_4c_5 \\ c_5 & 0 & -s_5 \end{bmatrix}^T \dots \dots \dots \quad (26e)$$

$$\left[ \begin{array}{c} d\mathbf{W} \\ \hline d\phi \end{array} \right] = (R+h) \left[ \begin{array}{c} c_5 s_4 \\ -c_5 c_4 \\ 0 \end{array} \right] \dots \dots \dots \quad (26f)$$

$$\left[ \frac{d\mathbf{W}}{dh} \right] = \begin{bmatrix} c_5c_4 \\ c_5s_4 \\ -s_5 \end{bmatrix} \dots \dots \dots \quad (26h)$$